



Препринт Санкт-Петербургского математического общества

Поступил 14.08.2023 Представлен А.И. Назаровым

Доступен на сайте <http://www.mathsoc.spb.ru/preprint/>

Оценки максимума для решений эллиптического и параболического уравнений на стратифицированном множестве вида “книжка”

Миرونенко Ф.Д.*

1 Введение

Идея оценки максимума для решений эллиптических уравнений второго порядка в недивергентной форме с помощью анализа нормального изображения выпуклой оболочки берет начало в работах А.Д. Александрова [4] и И.Я. Бакельмана [9]. Аналогичной технике для параболического случая начало положил Н.В. Крылов [10], [11]. В дальнейшем данный подход развивался и использовался многими авторами. Обзор литературы по этой теме можно найти в [7] и в [5, §2.3].

Настоящая статья посвящена получению локальных оценок типа Александрова–Бакельмана–Крылова на простейшем стратифицированном мно-

*Санкт-Петербургский государственный университет, Университетский пр. 28, 198504, Санкт-Петербург, Россия; Санкт-Петербургское отделение Математического института им. В.А. Стеклова РАН, Фонтанка 27, 191023, Санкт-Петербург, Россия. Работа поддержана грантом Российского научного фонда N22-21-00027.

жестве. С общим понятием стратифицированного множества можно ознакомиться в работе [13]. Мы же будем рассматривать стратифицированное множество вида “книжка”, состоящее из нескольких n -мерных “листов”, пересекающихся по $(n-1)$ -мерному “переплёту” (см. Рис. 1). Точное определение можно найти в §3.

Заметим, что если количество “листов” равно 1 или 2, то уравнения на таком стратифицированном множестве превращаются в задачу Вентцеля или двухфазную задачу Вентцеля соответственно. Оценки Александра–Бакельмана–Крылова для задачи Вентцеля были получены в работах [3], [1] (эллиптический случай) и [8] (параболический случай), а для двухфазной задачи Вентцеля — в работе [2]. Однако в случае когда “листов” больше двух, такая “книжка” уже не вкладывается в \mathbb{R}^n , что значительно усложняет анализ нормального изображения.

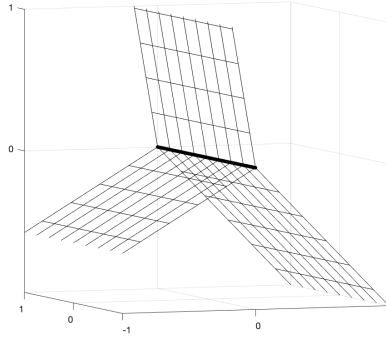


Рис. 1: Стратифицированное множество вида “книжка” с тремя “листами” размерности $n = 2$, вложенное в \mathbb{R}^3

Работа состоит из пяти параграфов. В §2 приводятся основные определения и леммы, связанные с понятиями выпуклой оболочки функции, нормального отображения и отображения Лежандра. В §3 даётся формальное определение стратифицированного шара. В §4 вводится понятие нормального отображения и отображения Лежандра для стратифицированного случая и доказываются ключевые геометрические леммы. Наконец, §5 и §6 посвящены оценке максимума для соответственно параболического и эллиптического уравнений на стратифицированном шаре.

Замечание. Оценка максимума для эллиптического уравнения (Теорема 6.1) была анонсирована в кратком сообщении [6].

1.1 Используемые обозначения

$(x', x_n) = x \in \mathbb{R}^n$, где $x' \in \mathbb{R}^{n-1}$

$B^n(R)$ — шар радиуса R в \mathbb{R}^n с центром в начале координат.

$S^{n-1}(R)$ — граница $B^n(R)$.

$Q^n(T, R) := (0, T) \times B^n(R)$ — цилиндр над шаром $B^n(R)$.

$V_0 := V \cap \{x_n = 0\}$ — сечение множества $V \subset \mathbb{R}^n$ гиперплоскостью $x_n = 0$. В дальнейшем особую роль будут играть множества $B_0(R) = B^{n-1}(R) \times \{0\}$ и $Q_0(T, R) = (0, T) \times B_0(R)$.

$V_{\pm} := \{x \in V \mid x_n \gtrless 0\}$, $V_{0,\pm} := V_0 \cup V_{\pm}$.

$u_+ := \max\{0, u\}$ — положительная часть функции u .

$\Omega_u := \{x \in \Omega \mid u(x) > 0\}$

$\mathcal{U}(u) := \left\{ (x, h) \in \mathbb{R}^{n+1} \mid x \in \text{dom}(u), h \leq u(x) \right\}$ — подграфик функции u .

$\text{conv}(E) \subset \mathbb{R}^m$ — выпуклая оболочка множества $E \subset \mathbb{R}^m$.

$\overline{1 : K} := \{1, 2, \dots, K\}$ — начальный отрезок натурального ряда для числа $K \in \mathbb{N}$.

Элементы последовательностей точек векторного пространства мы будем нумеровать верхними индексами: x^k , а компоненты вектора $x \in \mathbb{R}^n$ — нижними: x_i . Везде далее мы больше будем пользоваться правилом суммирования по повторяющимся индексам. Индексы i и j пробегают значения от 1 до n , а l и m — от 1 до $n - 1$. Различные константы будут обозначаться буквой N с индексом или без. Запись $N(\dots)$ означает, что N зависит только от параметров, указанных в скобках.

2 Выпуклые и выпукло-монотонные оболочки функций

Для доказательства основных теорем нам понадобится несколько вспомогательных фактов, связанных с понятием выпуклой оболочки функции. Рассмотрим выпуклое множество $\Omega \subset \mathbb{R}^n$. Выпуклой оболочкой функции $u : \Omega \rightarrow \mathbb{R}$ называется функция $z := \text{conv}[u]$, поточечно наименьшая из всех функций, выпуклых вверх на Ω и мажорирующих u . Иными словами, график z является “верхней границей” $\text{conv}(\mathcal{U}(u))$. Заметим, что выполнено соотношение: $\mathcal{U}(\text{conv}[u]) = \text{conv}(\mathcal{U}(u))$, то есть подграфик выпуклой оболочки равен выпуклой оболочке подграфика.

Лемма 2.1. *Рассмотрим функции $u_1, u_2 \in \mathcal{C}(B_{0,+}(R))$. Тогда:*

$$u_1|_{B_0(R)} \equiv u_2|_{B_0(R)} \implies \text{conv}[u_1]|_{B_0(R)} \equiv \text{conv}[u_2]|_{B_0(R)}.$$

Иными словами, сужение выпуклой оболочки непрерывной функции на $B_0(R)$ зависит лишь от значений функции на $B_0(R)$.

Доказательство

Заметим, что график $\text{conv}[u_i]|_{B_0(R)}$ это то же самое что “верхняя граница” множества $\text{conv}(\mathcal{U}(u_i)) \cap \{x_n = 0\}$. Тогда достаточно доказать равенство

$$\text{conv}(\mathcal{U}(u_1)) \cap \{x_n = 0\} = \text{conv}(\mathcal{U}(u_2)) \cap \{x_n = 0\}.$$

По теореме Каратеодори (см. [14, §17]) каждую точку из $\text{conv}(\mathcal{U}(u_i)) \subset \mathbb{R}^{n+1}$ можно представить в виде выпуклой комбинации $m \leq n+2$ различных точек (y^s, h^s) из $\mathcal{U}(u_i)$. Рассмотрим такое представление для точки $(x, h) \in \text{conv}(\mathcal{U}(u_1)) \cap \{x_n = 0\}$, где $x \in \mathbb{R}^n, h \in \mathbb{R}$:

$$(x, h) = a_s(y^s, h^s).$$

Поскольку $a_s > 0, y_n^s \geq 0, x_n = 0$, то для любого $s : y_n^s = 0$. Таким образом, $(y^s, h^s) \in \mathcal{U}(u_1) \cap \{x_n = 0\}$. Учитывая что $u_1|_{B_0(R)} \equiv u_2|_{B_0(R)}$, получаем $(y^s, h^s) \in \mathcal{U}(u_2) \cap \{x_n = 0\}$ и следовательно, $(x, h) \in \text{conv}(\mathcal{U}(u_2)) \cap \{x_n = 0\}$. Обратное включение доказывается аналогично. \square

Аналогом выпуклой оболочки для нестационарных задач является выпукло-монотонная оболочка. Для функции $u(t, x) : [0, T] \times \Omega \rightarrow \mathbb{R}$ выпукло-монотонная оболочка $z(t, x) : [0, T] \times \Omega \rightarrow \mathbb{R}$ определяется

как функция, поточечно наименьшая из всех функций, выпуклых вверх по x , неубывающих по t и мажорирующих u . В [12] было показано, что в каждый момент времени $t \in [0, T]$ выпукло-монотонная оболочка является выпуклой оболочкой по пространственным переменным от $\max_{\tau \in [0, t]} u(\tau, x)$:

$$z(t, \cdot) = \operatorname{conv}_x \left[\max_{\tau \in [0, t]} u(\tau, \cdot) \right].$$

Из данного представления тривиальным образом следует аналог Леммы 2.1 для выпукло-монотонных оболочек:

Лемма 2.2. *Рассмотрим функции $u_1, u_2 \in \mathcal{C}(Q_{0,+}(T, R))$. Тогда:*

$$u_1|_{Q_0(T, R)} \equiv u_2|_{Q_0(T, R)} \implies \operatorname{conv}[u_1]|_{Q_0(T, R)} \equiv \operatorname{conv}[u_2]|_{Q_0(T, R)}.$$

Иными словами, сужение выпукло-монотонной оболочки непрерывной функции на $Q_0(T, R)$ зависит лишь от значений функции на $Q_0(T, R)$.

С понятиями выпуклой и выпукло-монотонной оболочек тесно связано понятие множества контакта. Для функции $u : \Omega \rightarrow \mathbb{R}$, множество контакта \mathcal{Z}_u определяется как множество точек, в которых u касается выпуклой оболочки $z = \operatorname{conv}[u_+]$:

$$\mathcal{Z}_u = \{x \in \Omega \mid u(x) = z(x)\}.$$

Для функции $u : [0, T] \times \Omega \rightarrow \mathbb{R}$ и выпукло-монотонной оболочки z от положительной части u_+ , множество контакта определяется аналогично:

$$\mathcal{Z}_u = \{(t, x) \in [0, T] \times \Omega \mid u_+(t, x) = z(t, x)\}.$$

Выясним теперь ещё два важных свойства, касающихся выпуклой оболочки и её множества касания.

Лемма 2.3. *Пусть $u \in \mathcal{C}(\overline{B_{0,+}(R)})$, такая что $u|_{\partial B_+(R) \setminus B_0(R)} < 0$ и $M = \max u(x) > 0$. Обозначим $z := \operatorname{conv}[u_+]$. Рассмотрим вектор $p \in \mathbb{R}_{0,-}^n$. Тогда если плоскость π с градиентом p является опорной к подграфику z с точкой касания $x^0 \in B_{0,+}(R)$, то у этой же опорной плоскости можно выбрать другую точку касания x^1 , лежащую в множестве контакта \mathcal{Z}_u . При этом, если $x^0 \in B_0(R)$, то x^1 может быть выбрана из $B_0(R)$.*

Доказательство

Пусть $x^0 \in B_{0,+}(R)$, $x^0 \notin \mathcal{Z}_u$. Опорная плоскость имеет вид $\pi(x) = \langle p, x - x^0 \rangle + z(x^0)$. Заметим во-первых, что $z(x^0) > 0$, поскольку x^0 не лежит на сферической границе. Далее, плоскость π касается подграфика $\mathcal{U}(z)$ функции z , и для подграфика справедливы равенства:

$$\mathcal{U}(z) = \mathcal{U}(\operatorname{conv}[u_+]) = \operatorname{conv}(\mathcal{U}(u_+)).$$

По теореме Каратеодори точка $(x^0, z(x^0)) \in \mathcal{U}(z) = \operatorname{conv}(\mathcal{U}(u_+))$ является выпуклой комбинацией $m \leq n + 2$ точек $(y^s, h^s) \in \mathcal{U}(u_+)$. Подграфик u_+ лежит ниже опорной плоскости π , поэтому из того, что $\pi(x^0) = z(x^0) = \alpha_s h^s$, следует $h^s = \pi(y^s)$ для любого s . Тогда $\pi(y^s) = u_+(y^s)$, и хотя бы одно из значений $h^s = u_+(y^s)$ положительно, поскольку $z(x^0) > 0$. Соответствующий y^s является искомой точкой касания. При этом, если $x^0 \in B_0(R)$, то аналогичным образом доказывается, что $y_n^s = 0$. \square

Основным инструментом в доказательстве принципа максимума для эллиптического оператора является нормальное отображение $\Phi_z : \mathbb{R}^n \rightarrow \mathbb{R}^n$, определяемое для выпуклой вверх функции $z : \mathbb{R}^n \rightarrow \mathbb{R}$ как многозначное отображение, заданное формулой

$$\Phi_z(x_0) = \left\{ p \in \mathbb{R}^n \mid \langle p, x - x_0 \rangle + z(x_0) \text{ — опорная плоскость к } \mathcal{U}(z) \text{ в точке } x_0 \right\}.$$

В точках дифференцируемости функции z значение Φ_z определено однозначно и равняется Dz . Однако вообще говоря, образом точки является множество.

Аналогом нормального отображения для функций, определённых на цилиндре, является отображение Лежандра Ψ_z . Для выпукло-монотонной функции $z(t, x)$ в точке (t^0, x^0) отображение Лежандра определяется как множество всевозможных пар $(q, p) \in \mathbb{R} \times \mathbb{R}^n$, таких что плоскость $\pi_{q,p}(x) = q + \langle p, x - \check{x} \rangle$ является опорной к подграфику $z(t^0, \cdot)$ в точке x^0 . Здесь \check{x} — произвольная фиксированная точка, называемая центром отображения Лежандра.

Лемма 2.4. Пусть $u \in \mathcal{C}(\overline{B_{0,+}(R)})$, такая что $u|_{\partial B_{0,+}(R) \setminus B_0(R)} < 0$ и $M = \max u(x) > 0$. Обозначим $z := \operatorname{conv}[u_+]$. Тогда $B_{0,-}(M/2R) \subseteq \Phi_z(B_{0,+}(R))$.

Данная Лемма хорошо известна для случая когда в качестве области выступает шар B^n . Однако доказательство приведено ниже для удобства чтения.

Доказательство

Рассмотрим $p \in B_{0,-}(M/2R)$ и плоскость $\pi_h(x) = \langle p, x \rangle + h$. Нетрудно видеть, что существует число h^0 , при котором плоскость π_{h^0} является опорной к подграфику z в некоторой точке $x^0 \in \overline{B_{0,+}(R)}$. Тогда если $x^0 \notin B_{0,+}(R)$, то есть $x^0 \in \partial B_+(R) \setminus B_0(R)$, то в этой точке $z(x^0) = 0$. Можно переписать: $\pi_{h^0}(x) = \langle p, x - x^0 \rangle + z(x^0)$. Обозначив через x^1 точку максимума u на $\overline{B_+(R)}$, мгновенно приходим к противоречию:

$$M = u(x^1) = z(x^1) \leq \langle p, x^1 - x^0 \rangle + z(x^0) \leq |p| \cdot |x^1 - x^0| + 0 < \frac{M}{2R} \cdot 2R.$$

□

3 Стратифицированное множество

С общим понятием стратифицированного множества можно ознакомиться, например, в статье [13]. В нашей работе рассматривается стратифицированное множество специального вида, а именно, стратифицированное множество типа “книжка”.

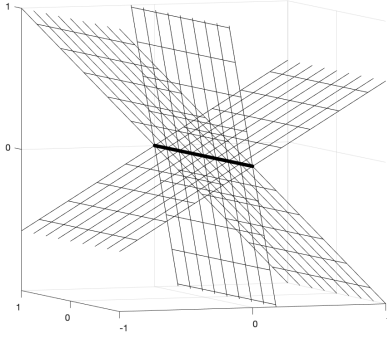
Выберем и фиксируем натуральное число K – количество стратов. Рассмотрим K копий n -мерного евклидова пространства, занумеровав их числами $k \in \overline{1 : K}$ и получив набор $\mathbb{R}^{n,[k]}$. В каждом из этих пространств выделим n -ю координату $x_n^{[k]}$, а первые $n - 1$ для всех пространств положим общими, получив $\bigcap_k \mathbb{R}^{n,[k]} = \mathbb{R}^{n-1} \times \{0\}$. Данная конструкция может быть представлена как набор из K n -мерных гиперплоскостей в \mathbb{R}^{n+1} , пересекающихся по $\mathbb{R}^{n-1} \times \{(0, 0)\}$, однако в уравнениях удобнее пользоваться предыдущим определением. Введём обозначения

$$\mathbb{R}^{\otimes} := \bigcup_{k=1}^K \mathbb{R}^{n,[k]}; \quad \mathbb{R}_+^{\otimes} := \bigcup_{k=1}^K \mathbb{R}_{0,+}^{n,[k]}; \quad \mathbb{R}_-^{\otimes} := \bigcup_{k=1}^K \mathbb{R}_{0,-}^{n,[k]}.$$

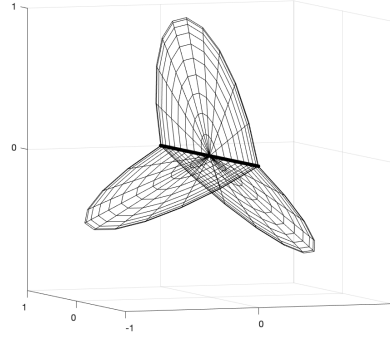
Множества \mathbb{R}_+^{\otimes} и \mathbb{R}_-^{\otimes} мы будем называть стратифицированными множествами вида “книжка”, что обусловлено интуитивными аналогиями, вызываемыми случаем $n = 2$ (в этом случае \mathbb{R}^{\otimes} можно увидеть на Рис. (2а), а \mathbb{R}_+^{\otimes} – на Рис. (1)). Стратифицированным шаром будем называть

шар в \mathbb{R}_+^{\otimes} (Рис. (2b))

$$\mathbb{B}_+(R) := \left\{ x \in \mathbb{R}_+^{\otimes} \mid |x| < R \right\} = \bigcup_{k=1}^K B_{0,+}^{[k]}(R).$$



(а) Стратифицированное пространство \mathbb{R}^{\otimes} при $n = 2$ и $K = 3$



(б) Стратифицированный шар $\mathbb{B}_+(R)$ при $n = 2$ и $K = 3$

Рис. 2

Центрально симметричный к нему шар из \mathbb{R}_-^{\otimes} будем обозначать $\mathbb{B}_-(R)$. Границу шара $\mathbb{B}_+(R)$ в \mathbb{R}_+^{\otimes} можно явно записать как $\partial\mathbb{B}_+(R) = \bigcup \partial B_{0,+}^{[k]}(R) \setminus B_0(R)$.

Над стратифицированным шаром определим стратифицированный цилиндр

$$\mathbb{Q}_+(T, R) = (0, T) \times \mathbb{B}_+(R) \subset \mathbb{R} \times \mathbb{R}_+^{\otimes}, \quad T > 0.$$

Обозначим через $\partial''\mathbb{Q}_+(T, R) = (0, T) \times \partial\mathbb{B}_+(R)$ его боковую границу, а через $\partial'\mathbb{Q}_+(T, R) = \partial''\mathbb{Q}_+(T, R) \cup (\{0\} \times \overline{\mathbb{B}_+(R)})$ — параболическую.

В дальнейшем все векторы, принадлежащие пространству $\mathbb{R}^{n,[k]}$, будут обозначаться верхним индексом: $x^{[k]}$, и аналогичная запись будет использоваться для их n -х компонент. Точки пространства $\mathbb{R} \times \mathbb{R}^{n,[k]}$ мы будем записывать как $(t, x^{[k]})$. Для вектора $x \in \mathbb{R}^n$ мы будем обозначать через $x^{[k]}$ его естественное вложение в $\mathbb{R}^{n,[k]}$. Также для множества

$V \subset \mathbb{R}^{\otimes}$ введём его проекцию на \mathbb{R}^n :

$$\overline{\text{pr}}(V) = \bigcup_{k=1}^K \left\{ x \in \mathbb{R}^n \mid x^{[k]} \in V \right\}.$$

Определим непрерывную функцию $u : \mathbb{B}_+(R) \rightarrow \mathbb{R}$ отдельно на каждом из полушаров

$$u(x) = \begin{cases} u_1(x), & x = (x', x_n^{[1]}) \\ u_2(x), & x = (x', x_n^{[2]}) \\ \dots \\ u_K(x), & x = (x', x_n^{[K]}) \end{cases}$$

и потребуем от функций u_k согласованности на “переплётё”: $u_i|_{B_0(R)} \equiv u_j|_{B_0(R)}$. Таким же образом определяются и функции на цилиндре, для которых требование согласованности принимает вид $u_i|_{Q_0(T,R)} \equiv u_j|_{Q_0(T,R)}$. Пользуясь Леммой 2.1, введём аналог выпуклой оболочки функции u

$$\text{conv}[u](x) := \begin{cases} \text{conv}[u_1](x), & x = (x', x_n^{[1]}) \\ \text{conv}[u_2](x), & x = (x', x_n^{[2]}) \\ \dots \\ \text{conv}[u_K](x), & x = (x', x_n^{[K]}) \end{cases}.$$

Для функций над стратифицированным цилиндром вместо выпуклой оболочки мы будем пользоваться понятием выпукло-монотонной оболочки. Она, как и выпуклая оболочка, определяется покомпонентно и на k -том страте равняется выпукло-монотонной оболочке от k -ой компоненты u_k . Как и ранее, данное определение корректно в силу Леммы 2.2.

4 Нормальное отображение и отображение Лежандра на стратифицированном множестве

В этом параграфе мы будем предполагать выполнение одного из двух условий:

$$u \in C^2(B_{0,+}^{[k]}(R)), \quad u|_{\partial B_{0,+}^{[k]}(R) \setminus B_0(R)} < 0,$$

$$u \in C_{t,x}^{1,2}(Q_{0,+}^{[k]}(T, R)), \quad u|_{\partial' Q_{0,+}^{[k]}(T,R) \setminus Q_0(T,R)} < 0. \quad (1)$$

В работе [12] было показано, что тогда выпуклая и выпукло-монотонная оболочка принадлежит классам $W_{\infty}^2(B_{0,+}^{[k]}(R))$ и $W_{\infty}^{1,2}(Q_{0,+}^{[k]}(T, R))$ соответственно.

Определим нормальное отображение в случае стратифицированного шара и покомпонентно выпуклой функции $z : \mathbb{B}_+(R) \rightarrow \mathbb{R}$. Во внутренних точках полушаров $x^{[k]} \in B_+^{[k]}(R)$ нормальный образ $\Phi_z(x^{[k]})$ совпадает с нормальным образом соответствующей компоненты z_k , вложенным в k -й страт $\mathbb{R}^{n,[k]}$. То есть

$$\Phi_z(x^{[k]}) = (\Phi_{z_k}(x))^{[k]}, \quad x^{[k]} \in B_+^{[k]}(R). \quad (2)$$

По-другому дело обстоит на $B_0(R)$ — общей границе полушаров. Точки $x \in B_0(R)$ принадлежат каждому из $B_{0,+}^{[k]}(R)$, и поэтому нормальный образ может иметь нетривиальное пересечение с каждым из стратов. Более того, значения функций-компонент z_k согласуются лишь на $B_0(R)$, поэтому часть нормального образа в $\mathbb{R}^{n,[k]}$ не зависит от z_l при $l \neq k$. Таким образом,

$$\Phi_z(x', 0) = \bigcup_{k=1}^K (\Phi_{z_k}(x', 0))^{[k]}, \quad (x', 0) \in B_0(R). \quad (3)$$

Перейдём теперь к нестационарному случаю и определим стратифицированный аналог отображения Лежандра. Фиксируем центральную точку $\check{x} = (\check{x}', 0) \in B_0(R)$. Для внутренних точек полуцилиндров $(t, x^{[k]}) \in Q_+^{[k]}(T, R)$ по аналогии с (2) определим:

$$\Psi_z(t, x^{[k]}) := (\Psi_{z_k}(t, x))^{[k]}, \quad x^{[k]} \in Q_+^{[k]}(T, R).$$

Для точек с плоской границы $(t, x', 0) \in Q_0(T, R)$ определим отображение Лежандра, как и в (3), в виде объединения по компонентам:

$$\Psi_z(t, x', 0) = \bigcup_{k=1}^K (\Psi_{z_k}(t, x', 0))^{[k]}, \quad (t, x', 0) \in Q_0(T, R).$$

4.1 Вспомогательное множество \mathcal{D} для эллиптического случая

Рассмотрим функцию $u : \overline{\mathbb{B}_+(R)} \rightarrow \mathbb{R}$, удовлетворяющую условиям: $u|_{\partial\mathbb{B}_+(R)} < 0$ и $M := \max u > 0$. Построим покомпонентный максимум $\hat{u} : \overline{B_{0,+}(R)} \rightarrow \mathbb{R}$

$$\hat{u}(x) := \max_k u_k(x), \quad (4)$$

положим $\hat{z} := \text{conv}[\hat{u}_+]$ и введём соответствующее множество контакта $\mathcal{Z}_{\hat{u}} \subset B_{0,+}(R)$. Поскольку $\max \hat{u}_+(x) = \max u_+(x) = M$ и $\hat{u}|_{\partial B_{0,+}(R) \setminus B_0(R)} < 0$, то по Лемме 2.4, $B_{0,-}(M/2R) \subseteq \Phi_{\hat{z}}(B_{0,+}(R))$. Таким образом, для любого вектора $p \in B_{0,-}(M/2R)$ существует точка касания $x \in B_{0,+}(R)$ — плоскости с градиентом p и подграфика выпуклой оболочки \hat{z} , и по Лемме 2.3 не умаляя общности можно считать, что $x \in \mathcal{Z}_{\hat{u}}$. В точке x плоскость π_p касается тех компонент u_k , которые доставляют максимум в (4). Обозначим через \mathcal{P}_k множество тех p из $B_{0,-}(M/2R)$, опорные плоскости которых касаются графика u_k . Множества \mathcal{P}_k измеримы, и их объединением является весь полушар $B_{0,-}(M/2R)$. Далее, рассмотрим дизъюнктивный набор

$$\mathcal{D}_k := \mathcal{P}_k \setminus \bigcup_{j=1}^{k-1} \mathcal{P}_j.$$

Каждый вектор p из $B_{0,-}(M/2R)$ принадлежит ровно одному \mathcal{D}_k . Номер этого множества для заданного p будем обозначать $k(p)$. При этом нетрудно видеть, что \mathcal{D}_k состоит из тех и только тех $p \in B_{0,-}(M/2R)$, для которых минимальный индекс k , при котором π_p касается u_k , равняется $k(p)$. Наконец, искомое множество определяется как

$$\mathcal{D} := \bigcup_{k=1}^K \mathcal{D}_k^{[k]} \subseteq \mathbb{B}_-(M/2R).$$

4.2 Вспомогательное множество \mathcal{K} для параболического случая

Аналогом шара $\mathbb{B}_-(M/2R)$ в параболическом случае является стратифицированный конус $\mathbb{K}_-(M, R)$, определяемый следующим образом:

$$\mathbb{K}_-(M, R) = \left\{ (q, p^{[k]}) \in \mathbb{R} \times \mathbb{R}_-^{\otimes} \mid 2R|p^{[k]}| < q < M \right\}.$$

Его проекция на \mathbb{R}^{n+1} равняется:

$$K_- = \left\{ (q, p) \in \mathbb{R} \times \mathbb{R}^n \mid 2R|p| < q < M, p_n \leq 0 \right\}.$$

Рассмотрим функцию $u : \overline{\mathbb{Q}_+(T, R)} \rightarrow \mathbb{R}$, удовлетворяющую условиям $u|_{\partial\mathbb{Q}_+(T, R)} < 0$ и $M := \max u > 0$. Обозначим через $(t^*; x^*) \in \mathbb{Q}_+(T, R)$ точку максимума функции u и выберем $\overline{x^*} = (x^{*'}, 0) \in B_0(R)$ в качестве центральной точки отображения Лежандра. Как и в эллиптическом случае, построим покомпонентный максимум $\widehat{u} : \overline{\mathbb{Q}_{0,+}(T, R)} \rightarrow \mathbb{R}$

$$\widehat{u}(t, x) = \max_k u_k(t, x)$$

и его выпукло-монотонную оболочку \widehat{z} . Для $(q, p) \in K_-$ рассмотрим плоскость $\pi_{q,p}(x) = q + \langle p, x - \overline{x^*} \rangle$. В момент времени t^* в точке x^* данная плоскость лежит под графиком функции \widehat{z} . Действительно, поскольку $p_n \leq 0$ и $x_n^* \geq 0$, то $\pi_{q,p}(x^*) \leq q < M = \widehat{z}(t^*, x^*)$. При этом, в момент $t = 0$ данная плоскость строго больше \widehat{z} в любой точке $x \in \overline{B_{0,+}(R)}$, поскольку:

$$\pi_{q,p}(x) = q + \langle p, x - \overline{x^*} \rangle \geq q - |p| \cdot |x - \overline{x^*}| \geq q - |p| \cdot 2R > 0 = \widehat{z}(0, x).$$

Отсюда следует, что существует момент $\tau \in (0, t^*)$, в который $\pi_{q,p}$ касается графика $\widehat{z}(\tau, \cdot)$. Обозначим через t^0 минимальный из всех таких τ . На множестве $[0, t^0] \times \overline{B_{0,+}(R)}$ подграфик \widehat{z} целиком лежит под плоскостью $\pi_{q,p}(t, x) = \pi_{q,p}(x)$, и касается её в момент $t = t^0$. Тогда, аналогично Лемме 2.3, точка касания (t^0, x^0) может быть выбрана из множества $\mathcal{Z}_{\widehat{u}}$, и $(q, p) \in \Psi_{\widehat{z}}(t^0, x^0)$. Таким образом, $K_- \subset \Psi_{\widehat{z}}(\mathcal{Z}_{\widehat{u}})$. Более того, в точке x^0 выполняются равенство $\pi_{q,p}(x^0) = \widehat{z}(t^0, x^0) = \widehat{u}(t^0, x^0)$, и плоскость $\pi_{q,p}$ касается хотя бы одной из компонент u_k .

Обозначим через \mathcal{P}_k множество тех $(q, p) \in K_-$, для которых соответствующие опорные плоскости касаются графика u_k , и рассмотрим дизъюнктивный набор:

$$\mathcal{K}_k = \mathcal{P}_k \setminus \bigcup_{j=1}^{k-1} \mathcal{P}_j,$$

в объединении дающий K_- . По аналогии с определением множества \mathcal{D} , введём множество \mathcal{K} :

$$\mathcal{K} = \bigcup_{k=1}^K \mathcal{K}_k^{[k]} \subseteq \mathbb{K}_-(M, R). \quad (5)$$

4.3 Основное свойство множеств \mathcal{D} и \mathcal{K}

В точке $x = (x', 0) \in B_0(R)$ определим нормальную производную в направлении страта с номером k как односторонний предел:

$$D_n^{[k]}z(x', 0) = \lim_{x_n^{[k]} \rightarrow 0^+} D_n z(x', x_n^{[k]}).$$

В нестационарном случае нормальная производная в направлении k -го страта в точке $(t, x) = (t, x') \in Q_0(T, R)$ определяется аналогично:

$$D_n^{[k]}z(t, x', 0) = \lim_{x_n^{[k]} \rightarrow 0^+} D_n z(t, x', x_n^{[k]}).$$

Гладкости функции u достаточно для корректности данного определения в обоих случаях.

Лемма 4.1 (Основное свойство множества \mathcal{D}). *Для множества \mathcal{D} выполняется включение:*

$$\mathcal{D} \setminus \Phi_z(\mathbb{B}_+(R) \setminus B_0(R)) \subseteq \Phi_z(\tilde{\mathcal{Z}}),$$

где $\tilde{\mathcal{Z}}$ — множество “правильного поведения” функции z , определяемое как

$$\tilde{\mathcal{Z}} = \left\{ x \in \mathcal{Z}_u \cap B_0(R) \mid \forall k : D_n^{[k]}z(x', 0) \leq 0 \right\}.$$

Лемма 4.2 (Основное свойство множества \mathcal{K}). *Для множества \mathcal{K} выполняется включение:*

$$\mathcal{K} \setminus \Psi_z(\mathbb{Q}_+(T, R) \setminus Q_0(T, R)) \subseteq \Psi_z(\tilde{\mathcal{Z}}),$$

где $\tilde{\mathcal{Z}}$ — множество “правильного поведения” функции z , определяемое как

$$\tilde{\mathcal{Z}} = \left\{ (t, x) \in \mathcal{Z}_u \cap Q_0(T, R) \mid \forall k : D_n^{[k]}z(t, x', 0) \leq 0 \right\}.$$

Ниже приведено доказательство данного факта для параболического случая. Доказательство Леммы 4.1 проще, чем у Леммы 4.2, и легко восстанавливается из приведённого доказательства.

Доказательство Леммы 4.2

Из того что $\mathcal{K}_- \subseteq \Psi_{\hat{z}}(\mathcal{Z}_{\hat{u}})$ и определения (5) следует $\mathcal{K} \subseteq \Psi_z(\mathbb{Q}_+(T, R))$.

Рассмотрим $(q, p^{[k]}) \in \mathcal{K} \setminus \Psi_z(\mathbb{Q}_+(T, R) \setminus Q_0(T, R))$. По определению множества \mathcal{K} , $(q, p^{[k]}) \in \mathcal{K}$ означает $(q, p^{[k]}) \in \mathcal{K}_k^{[k]}$, то есть $(q, p) \in \mathcal{K}_k$, и найдётся точка $(t, x) \in \mathcal{Z}_{\hat{u}}$, в которой $\hat{u}(t, x) = u_k(t, x)$. Тогда соответствующая ей $(t, x^{[k]}) \in \mathbb{Q}_+(T, R)$ является точкой касания для $\pi_{q, p^{[k]}}$ и выпуклой оболочки u_+ . Поскольку $(q, p^{[k]}) \notin \Psi_z(\mathbb{Q}_+(T, R) \setminus Q_0(T, R))$, то $(t, x^{[k]}) \in Q_0(T, R)$, то есть $(t, x^{[k]}) = (t, x', 0)$ и $(q, p) \in \Psi_{\hat{z}}(Q_0(T, R))$.

В точке $(t, x) \in Q_0(T, R)$, в силу согласованности компонент u_i на страте $Q_0(T, R)$, имеем: $u_1(t, x) = \dots = u_K(t, x) = \hat{u}(t, x) = \hat{z}(t, x)$. Последнее верно, поскольку $(t, x) \in \mathcal{Z}_{\hat{u}}$. Функция \hat{u} по определению мажорирует каждую из компонент u_k , поэтому её выпукло-монотонная оболочка \hat{z} мажорирует каждую из функций $z_k = \text{conv}[(u_k)_+]$. Кроме того, опорная плоскость $\pi_{q, p}$ мажорирует выпуклую оболочку \hat{z} . Исходя из этого, для любого k в точке $(t, x) = (t, x', 0)$, рассматриваемой как точка на $\mathbb{Q}_+(T, R)$, выполняются неравенства

$$\begin{aligned} D_n^{[k]}z(t, x', 0) &= \lim_{x_n^{[k]} \rightarrow 0+} D_n^{[k]}z(t, x', x_n^{[k]}) = \lim_{x_n \rightarrow 0+} D_n z_k(t, x', x_n) \leq \\ &\leq \lim_{x_n \rightarrow 0+} D_n \hat{z}(t, x', x_n) \leq p_n \leq 0. \end{aligned}$$

Тем самым, $(t, x) \in \tilde{\mathcal{Z}}$, и $(q, p^{[k]}) \in \Psi_z(t, x) \subseteq \Psi_z(\tilde{\mathcal{Z}})$. □

5 Параболическое уравнение на стратифицированном шаре

Пусть на каждом $Q_+^{[k]}(T, R)$ задан параболический оператор:

$$\mathcal{M}^{[k]}u = \partial_t u - a_{ij}^{[k]} D_i D_j u + b_i^{[k]} D_i u,$$

$$a_{ij}^{[k]} \in L_\infty(Q_+^{[k]}(T, R)), \quad b_i^{[k]} \in L_{n+1}(Q_+^{[k]}(T, R)), \quad (a_{ij}^{[k]})_{i,j=1}^n \geq \nu I_n, \quad (6)$$

а на страте $Q_0(T, R)$ — оператор

$$\mathcal{N}u = \partial_t u - \alpha_{l,m} D_l D_m u + \beta_l D_l u + \mathcal{J}u,$$

$$\alpha_{lm} \in L_\infty(Q_0(T, R)), \quad \beta_l \in L_n(Q_0(T, R)), \quad (\alpha_{lm})_{l,m=1}^{n-1} \geq \nu I_{n-1}, \quad (7)$$

где \mathcal{J} — оператор сопряжения, определяемый для измеримых $\beta_n^{[k]}$:

$$\mathcal{J}u = \sum_{k=1}^K \beta_n^{[k]}(t, x') \lim_{x_n^{[k]} \rightarrow 0+} D_n u(t, x', x_n^{[k]}).$$

Теорема 5.1. Пусть $n \geq 2$, и на цилиндрах $Q_+^{[k]}(T, R)$ заданы операторы $\mathcal{M}^{[k]}$ вида (6), а на $Q_0(T, R)$ — оператор \mathcal{N} вида (7), удовлетворяющий соотношениям $\beta_n^{[k]} \leq 0$, для $k = \overline{1:K}$. Рассмотрим функцию $u \in \mathcal{C}(\overline{Q_+(T, R)})$, такую что

$$u \in W_{n+1}^{1,2}(Q_+^{[k]}(T, R)), \quad k \in \overline{1:K}; \quad u \in W_n^{1,2}(Q_0(T, R)); \quad u|_{\partial' Q_+(T, R)} \leq 0.$$

Тогда справедлива оценка:

$$\frac{\max_{Q_+(T, R)} u_+}{\leq} N_1 \cdot \sum_{k=1}^K \left\| \frac{(\mathcal{M}^{[k]}u)_+}{\nu^{n/(n+1)}} \right\|_{n+1, (Q_+^{[k]}(T, R))_u} + N_2 \cdot \left\| \frac{(\mathcal{N}u)_+}{\nu^{(n-1)/n}} \right\|_{n, (Q_0(T, R))_u},$$

где

$$N_1 = N_0(n) \cdot \left(R^{\frac{n}{n+1}} + \sum_{k=1}^K \left\| \frac{|b^{[k]}|}{\nu^{n/(n+1)}} \right\|_{n+1, (Q_+^{[k]}(T, R))_u}^n + \left\| \frac{|\beta'|}{\nu^{(n-1)/n}} \right\|_{n, (Q_0(T, R))_u}^{\frac{n^2}{n+1}} \right),$$

$$N_2 = N_0(n) \cdot \left(R^{\frac{n-1}{n}} + \sum_{k=1}^K \left\| \frac{|b^{[k]}|}{\nu^{n/(n+1)}} \right\|_{n+1, (Q_+^{[k]}(T, R))_u}^{\frac{n^2-1}{n}} + \left\| \frac{|\beta'|}{\nu^{(n-1)/n}} \right\|_{n, (Q_0(T, R))_u}^{n-1} \right).$$

Доказательство

Будем считать, что u удовлетворяет условию (1). Общий случай получается из этого стандартной аппроксимацией (см., например, [12, §4]).

Рассмотрим точку максимума функции u_+ : $(t^*, x^*) \in \overline{Q_+(T, R)}$. Обозначим $M = u_+(t^*, x^*) = z(t^*, x^*)$, и не умаляя общности будем считать $M > 0$. Выберем в качестве центральной точки отображения Лежандра проекцию $\overline{x^*} = (x^{*'}, 0)$. В точках дифференцируемости z по пространственным переменным, то есть при $(t, x^{[k]}) \in Q_+(T, R) \setminus Q_0(T, R)$, отображение Лежандра является однозначным и явно выражается через градиент z :

$$\Psi_z(t, x^{[k]}) = (z_k - \langle D z_k, x - \overline{x^*} \rangle, D' z_k, (D_n z_k)^{[k]}).$$

По Лемме 4.2, для любой суммируемой неотрицательной функции $\psi(q, p)$ выполнено

$$\int_{\mathcal{K}} \psi dp dq \leq \sum_{k=1}^K \int_{\Psi_z(Q_+^{[k]}(T,R))} \psi dp dq + \int_{\mathcal{K} \cap \Psi_z(\tilde{z})} \psi dp dq. \quad (8)$$

Возьмём в качестве ψ функцию

$$\psi(q, p) = \psi(|p|) = \left((|p|\lambda)^2 + \Lambda^2 \right)^{-\frac{n+1}{2}},$$

а точные значения чисел $\lambda > 0$ и $\Lambda > 0$ определим позднее. Первым делом оценим снизу левую часть в неравенстве (8). Поскольку множество \mathcal{K} однозначно проецируется на полуконус K_- и функция ψ не зависит от выбора страта, переходя к полярным координатам, выводим

$$\begin{aligned} \int_{\mathcal{K}} \psi dp dq &= \frac{1}{2} \int_{2R|p| < q < M} \psi(|p|) dp dq = \frac{|S_{n-1}|}{2} \int_0^{M/(2R)} (M-2R\rho)\rho^{n-1}\psi(\rho) d\rho = \\ &= \frac{|S_{n-1}|}{2} \cdot \frac{M}{\lambda^n \Lambda} \int_0^{M\lambda/(2R\Lambda)} \left(1 - \frac{2R\Lambda}{M\lambda}y\right) \frac{y^{n-1}}{(y^2+1)^{\frac{n+1}{2}}} dy. \end{aligned}$$

Ограничим числа λ, Λ неравенством $M\lambda/(2R\Lambda) > 1$. Случай выполнения обратного неравенства тривиален, и мы вернёмся к нему позже. Тогда интеграл можно оценить снизу, заменив верхний предел на 1, и воспользоваться тем, что для любого $0 \leq y \leq 1$ выполнено $1 - y \cdot 2R\Lambda/(M\lambda) \geq 1 - y$.

$$\int_{\mathcal{K}} \psi dp dq \geq \frac{|S_{n-1}|}{2} \cdot \frac{M}{\lambda^n \Lambda} \cdot \int_0^1 \frac{(1-y)y^{n-1}}{(y^2+1)^{\frac{n+1}{2}}} dy = N_3(n) \frac{M}{\lambda^n \Lambda}. \quad (9)$$

Оценим теперь правую часть неравенства (8) сверху. Для этого нам понадобятся две вспомогательные Леммы.

Лемма 5.1. *Для любой измеримой неотрицательной функции $\psi : \mathbb{R}^{\otimes} \rightarrow \mathbb{R}$ и для любого $k \in \overline{1 : K}$ справедливо неравенство:*

$$\int_{\Psi_z(Q_+^{[k]}(T,R))} \psi(p) dp dq \leq \frac{1}{\nu^n (n+1)^{n+1}} \int_{z \cap Q_+^{[k]}(T,R)} \psi(Du) (\mathcal{M}^{[k]}u - b_i^{[k]} D_i u)^{n+1} dx dt.$$

Данная Лемма является переформулировкой неравенств, полученных в ходе доказательства Теоремы I из [12, §4], поэтому её доказательство мы не приводим.

Лемма 5.2. *Для любой измеримой неотрицательной функции $\psi : \mathbb{R}^{\otimes} \rightarrow \mathbb{R}$ инвариантной относительно выбора страта, $\psi(x^{[k_1]}) = \psi(x^{[k_2]})$, справедливо неравенство:*

$$\begin{aligned} \int_{\kappa \cap \Psi_z(\tilde{\mathcal{Z}})} \psi(p) dp dq &\leq \\ &\leq \frac{1}{\nu^{n-1} n^n} \int_{\tilde{\mathcal{Z}}} \left(\mathcal{N}u(t, x', 0) - \beta_l(t, x') D_l u(t, x', 0) \right)^n \times \\ &\quad \times \int_{-M/(2R)}^0 \psi(D'u(t, x', 0), p_n) dp_n dx' dt. \quad (10) \end{aligned}$$

Данная Лемма является аналогом оценок, полученных в доказательстве Теоремы 1.1 из [2], однако её доказательство нуждается в модификации.

Доказательство Леммы 5.2

Выясним сперва более точный вид множества $\Psi_z(\tilde{\mathcal{Z}})$. Для $(t, x) = (t, x', 0) \in \tilde{\mathcal{Z}}$ при любом k выполнено

$$(q, p', p_n^0) := \left(z(t^*, \bar{x}^*) - \langle D^{[k]}z(t, x), x - \bar{x}^* \rangle, D'z(t, x), D_n^{[k]}z(t, x) \right) \in \Psi_z(t, x).$$

Введём соответствующую опорную плоскость: $\pi_0(x) = q + \langle p', x' - x^{*'} \rangle + p_n^0 x_n$. Ясно, что сужение π_0 на $B_0(R)$ не зависит от значения p_n , что позволяет “наклонять” исходную опорную плоскость по направлению p_n , не меняя при этом параметр q . Более того, в силу гладкости функции z в точке $(t, x', 0)$ по переменным x' , невозможно изменить компоненту p' градиента опорной плоскости в точке (t, x) . Нетрудно видеть что $(q, p', p_n) \in \Psi_z(t, x)$ при $p_n \geq p_n^0 = D_n^{[k]}z(t, x)$ и $(q, p', p_n) \notin \Psi_z(t, x)$ при $p_n < p_n^0$, и для $(t, x) \in \tilde{\mathcal{Z}}$. Итак, отображение Лежандра в точке $(t, x', 0) \in \tilde{\mathcal{Z}}$ представляется в виде:

$$\Psi_z(t, x', 0) = \bigcup_{k=1}^K \left(\{z - \langle D'z, x' - x^{*'} \rangle\} \times \{D'z\} \times [D_n z_k, +\infty) \right)^{[k]}.$$

Поскольку область интегрирования из левой части неравенства (10) содержится в \mathcal{K} , на ней выполняются ограничения $-M/2R < p_n^{[k]} \leq 0$. Обозначим

$$\mathcal{I}^{[k]}(x) := \left\{ p_n^{[k]} \in (-M/2R, 0] \mid p_n^{[k]} \geq D_n^{[k]}z(x), (D'z(x), p_n^{[k]}) \in \mathcal{K} \right\} \subset \mathbb{R}.$$

Напомним, что для выпукло-монотонной оболочки z на всём $Q_0(T, R)$ выполняются соотношения:

$$\partial_t z \geq 0, \quad -D'^2 z \geq 0,$$

где последнее понимается в смысле квадратичных форм. При этом, на множестве контакта $\mathcal{Z}_u \cap Q_0(T, R)$ дополнительно выполнено:

$$\partial_t z = \partial_t u, \quad D'z = D'u, \quad -D'^2 z \leq -D'^2 u.$$

Якобиан отображения Лежандра по переменным (t, x') существует почти везде на $\mathcal{Z}_u \cap Q_0(T, R)$ и может быть посчитан как:

$$\det(\nabla' \Psi_z) = \partial_t z \cdot \det(D'^2 z).$$

Замена $(q, p', p_n^{[k]}) = (\nabla' \Psi_z(t, x', 0), p_n^{[k]})$ на каждом из полуцилиндров даёт:

$$\begin{aligned} \int_{\mathcal{K} \cap \Psi_z(\tilde{\mathcal{Z}})} \psi(p) dp dq &\leq \int_{\tilde{\mathcal{Z}}} dt dx' \sum_{k=1}^K \int_{\mathcal{I}^{[k]}(x)} \psi(t, D'z(t, x', 0), p_n^{[k]}) \times \\ &\quad \times \partial_t z(t, x', 0) \det(-D'^2 z(t, x', 0)) dp_n^{[k]} \leq \\ &\leq \int_{\tilde{\mathcal{Z}}} dt dx' \sum_{k=1}^K \int_{\mathcal{I}^{[k]}(x)} \psi(t, D'u(t, x', 0), p_n^{[k]}) \times \\ &\quad \times \partial_t u(t, x', 0) \det(-D'^2 u(t, x', 0)) dp_n^{[k]} \leq \\ &\leq \int_{\tilde{\mathcal{Z}}} dt dx' \int_{-M/2R}^0 \psi(D'z(t, x', 0), p_n) \cdot \partial_t u(t, x', 0) \det(-D'^2 u(t, x', 0)) dp_n. \end{aligned}$$

Последнее неравенство верно поскольку по определению множества \mathcal{K} , множества $\mathcal{I}^{[k]}(x)$ дизъюнкты. Обозначим

$$\mathbb{M}_0 = \begin{pmatrix} \alpha & 0 \\ 0 & 1 \end{pmatrix} \cdot \begin{pmatrix} -D'^2 u & 0 \\ 0 & \partial_t u \end{pmatrix},$$

где $\alpha(x) := (\alpha_{l,m})_{l,m=1}^{n-1}$ — матрица старших коэффициентов оператора \mathcal{N} .

$$\begin{aligned} \partial_t u \cdot \det(-D'^2 u) &= \frac{\det(\mathbb{M}_0)}{\det(\alpha)} \leq \left(\frac{\mathbf{tr}(\mathbb{M}_0)}{n} \right)^n \cdot \frac{1}{\det(\alpha)} \leq \\ &\leq \frac{(\mathcal{N}u - \beta_l D_l u - \mathcal{J}u)^n}{n^n \nu^{n-1}} \leq \frac{(\mathcal{N}u - \beta_l D_l u)^n}{\nu^{n-1} n^n}, \end{aligned}$$

где последнее неравенство верно, поскольку на $\tilde{\mathcal{Z}}$ выполнено $\mathcal{J}u \geq 0$. Тем самым доказательство Леммы завершается. \square

Уточним полученную оценку для конкретного выбора функции ψ .

$$\begin{aligned} \int_{-M/(2R)}^0 \psi(p', p_n) dp_n &\leq \frac{1}{\lambda^{n+1}} \int_{-\infty}^0 \frac{dp_n}{\left(|p'|^2 + |p_n|^2 + \left(\frac{\Lambda}{\lambda}\right)^2 \right)^{\frac{n+1}{2}}} = \\ &= \frac{1}{\lambda^{n+1} \left(|p'|^2 + \left(\frac{\Lambda}{\lambda}\right)^2 \right)^{\frac{n}{2}}} \int_{-\infty}^0 \frac{dp}{(1 + \rho^2)^{\frac{n+1}{2}}} = \frac{1}{\lambda} \cdot \frac{N_4(n)}{\left((|p'|\lambda)^2 + \Lambda^2 \right)^{\frac{n}{2}}}. \end{aligned}$$

Итак, правая часть в неравенстве (8) оценивается:

$$\begin{aligned} &\sum_{k=1}^K \int_{\Psi_z(Q_+^{[k]}(T,R))} \psi dp dq + \int_{\kappa \cap \Psi_z(\tilde{\mathcal{Z}})} \psi dp dq \leq \\ &\leq \frac{1}{\nu^n (n+1)^{n+1}} \sum_{k=1}^K \int_{z \cap Q_+^{[k]}(T,R)} \frac{(\mathcal{M}^{[k]}u - b_i^{[k]} D_i u)_+^{n+1}}{\left((|Du|\lambda)^2 + \Lambda^2 \right)^{(n+1)/2}} dx dt + \\ &\quad + \frac{1}{\lambda \nu^{n-1} n^n} \int_{\tilde{\mathcal{Z}}} \frac{(\mathcal{N}u - \beta_l D_l u)_+^n}{\left((|D'u|\lambda)^2 + \Lambda^2 \right)^{n/2}} dx' dt. \end{aligned}$$

Для подынтегрального выражения в последнем интеграле справедлива оценка:

$$\frac{(\mathcal{N}u - \beta_l D_l u)_+^n}{\left((|D'u|\lambda)^2 + \Lambda^2\right)^{n/2}} \leq 2^{n-1} \left(\frac{(\mathcal{N}u)_+^n}{\Lambda^n} + \frac{|\beta'|^n}{\lambda^n} \right).$$

Остальные подынтегральные выражения оцениваются аналогично. Пользуясь данными неравенствами и расширяя пределы интегрирования до множеств неотрицательности u , получаем:

$$\begin{aligned} & \sum_{k=1}^K \int_{\Psi_z(Q_+^{[k]}(T,R))} \psi dp dq + \int_{\kappa \cap \Psi_z(\tilde{z})} \psi dp dq \leq \\ & \leq N_5(n) \cdot \sum_{k=1}^K \left(\frac{1}{\Lambda^{n+1}} \left\| \frac{(\mathcal{M}^{[k]}u)_+}{\nu^{n/(n+1)}} \right\|_{n+1, (Q_+^{[k]}(T,R))_u}^{n+1} + \frac{1}{\lambda^{n+1}} \left\| \frac{b^{[k]}}{\nu^{n/(n+1)}} \right\|_{n+1, (Q_+^{[k]}(T,R))_u}^{n+1} \right) + \\ & + \frac{N_6(n)}{\lambda} \cdot \left(\frac{1}{\Lambda^n} \left\| \frac{(\mathcal{N}u)_+}{\nu^{(n-1)/n}} \right\|_{n, (Q_0(T,R))_u}^n + \frac{1}{\lambda^n} \left\| \frac{\beta'}{\nu^{(n-1)/n}} \right\|_{n, (Q_0(T,R))_u}^n \right). \quad (11) \end{aligned}$$

Совмещая неравенства (8), (9) и (11), выводим:

$$\begin{aligned} M \leq & \frac{N_7(n)\Lambda}{\lambda} \cdot \left(\sum_{k=1}^K \frac{\lambda^{n+1}}{\Lambda^{n+1}} \left\| \frac{(\mathcal{M}^{[k]}u)_+}{\nu^{n/(n+1)}} \right\|_{n+1, (Q_+^{[k]}(T,R))_u}^{n+1} + \frac{\lambda^n}{\Lambda^n} \left\| \frac{(\mathcal{N}u)_+}{\nu^{(n-1)/n}} \right\|_{n, (Q_0(T,R))_u}^n + \right. \\ & \left. + \sum_{k=1}^K \left\| \frac{b^{[k]}}{\nu^{n/(n+1)}} \right\|_{n+1, (Q_+^{[k]}(T,R))_u}^{n+1} + \left\| \frac{\beta'}{\nu^{(n-1)/n}} \right\|_{n, (Q_0(T,R))_u}^n \right). \quad (12) \end{aligned}$$

Зафиксируем $\varepsilon > 0$ и выберем

$$\Lambda = \left\| \frac{(\mathcal{N}u)_+}{\nu^{(n-1)/n}} \right\|_{n, (Q_0(T,R))_u} + \lambda^{\frac{1}{n+1}} \sum_{k=1}^K \left\| \frac{(\mathcal{M}^{[k]}u)_+}{\nu^{n/(n+1)}} \right\|_{n+1, (Q_+^{[k]}(T,R))_u} + \varepsilon.$$

Вспомним, наконец, что выше мы приняли предположение $M\lambda/(2R\Lambda) > 1$. Включим противный случай: $M \leq \frac{2\Lambda}{\lambda}R$ в оценку (12) и продолжим:

$$M \leq \frac{N_8(n)\Lambda}{\lambda} \cdot \left(R + \lambda^n + \sum_{k=1}^K \left\| \frac{b^{[k]}}{\nu^{n/(n+1)}} \right\|_{n+1, (Q_+^{[k]}(T,R))_u}^{n+1} + \left\| \frac{\beta'}{\nu^{(n-1)/n}} \right\|_{n, (Q_0(T,R))_u}^n \right).$$

Наконец, выберем

$$\lambda = \max \left\{ R^{1/n}, \max_k \left\| \frac{b^{[k]}}{\nu^{n/(n+1)}} \right\|_{n+1, (Q_+^{[k]}(T,R))_u}^{(n+1)/n}, \left\| \frac{\beta'}{\nu^{(n-1)/n}} \right\|_{n, (Q_0(T,R))_u} \right\}$$

и, устремив ε из определения Λ к $0+$, завершим доказательство Теоремы. \square

6 Эллиптическое уравнение на стратифицированном шаре

Пусть на каждом из стратов $B_+^{[k]}(R)$ задан эллиптический оператор:

$$\mathcal{L}^{[k]}u = -a_{ij}^{[k]}D_iD_ju + b_i^{[k]}D_iu, \quad (13)$$

$$a_{ij}^{[k]} \in L_\infty(B_+^{[k]}(R)), b_i^{[k]} \in L_n(B_+^{[k]}(R)), (a_{ij}^{[k]})_{i,j=1}^n \geq \nu I_n,$$

а на страте $B_0(R)$ — оператор

$$\mathcal{B}u = -\alpha_{lm}D_lD_mu + \beta_lD_lu + \mathcal{J}u$$

$$\alpha_{lm} \in L_\infty(B_0(R)), \beta_l \in L_{n-1}(B_0(R)), (\alpha_{lm})_{l,m=1}^{n-1} \geq \nu I_{n-1}, \quad (14)$$

где \mathcal{J} — оператор сопряжения, определяемый для измеримых $\beta_n^{[k]}$:

$$\mathcal{J}u = \sum_{k=1}^K \beta_n^{[k]}(x') \lim_{x_n^{[k]} \rightarrow 0+} D_n u(x', x_n^{[k]}).$$

Теорема 6.1. Пусть $n \geq 2$, и на полушарах $B_+^{[k]}(R)$ заданы операторы $\mathcal{L}^{[k]}$ вида (13), а на $B_0(R)$ — оператор \mathcal{B} вида (14), удовлетворяющий соотношениям $\beta_n^{[k]} \leq 0$. Рассмотрим функцию $u \in \mathcal{C}(\overline{\mathbb{B}_+(R)})$, такую что

$$u \in W_n^2(B_+^{[k]}(R)), k \in \overline{1:K}; \quad u \in W_{n-1}^2(B_0(R)); \quad u|_{\partial\mathbb{B}_+(R)} \leq 0.$$

Тогда справедлива оценка:

$$\begin{aligned} \max_{\mathbb{B}_+(R)} u_+ &\leq N \left(n, \left(\frac{\|b^{[k]}\|_{n, (B_+^{[k]}(R))_u}}{\nu} \right)_{k=1}^K, \frac{\|\beta'\|_{n-1, (B_0(R))_u}}{\nu} \right) \times \\ &\times \frac{R}{\nu} \cdot \left(\sum_{k=1}^K \|(\mathcal{L}^{[k]}u)_+\|_{n, (B_+^{[k]}(R))_u} + \|(\mathcal{B}u)_+\|_{n-1, (B_0(R))_u} \right). \end{aligned}$$

Доказательство данного результата использует ту же технику, что и доказательство Теоремы 5.1, однако все выкладки в эллиптическом случае заметно упрощаются. Как и в предыдущем параграфе, в ходе доказательства Теоремы используются следующие аналоги Лемм 1.1 и 3.4 из [7] соответственно, доказывающиеся аналогично Леммам 5.1 и 5.2, приведённым выше.

Лемма 6.1. *Для любой измеримой неотрицательной функции $g : \mathbb{R}^{\otimes} \rightarrow \mathbb{R}$ и для любого $k \in \overline{1 : K}$ справедливо неравенство:*

$$\int_{\Phi_z(B_+^{[k]}(R))} g(p) dp \leq \frac{1}{(\nu n)^n} \int_{Z_u \cap B_+^{[k]}(R)} g(Du) \left(\mathcal{L}^{[k]}u - b_i^{[k]} D_i u \right)^n dx.$$

Лемма 6.2. *Для любой измеримой неотрицательной функции $g : \mathbb{R}^{\otimes} \rightarrow \mathbb{R}$ инвариантной относительно выбора страта, $g(x^{[k_1]}) = g(x^{[k_2]})$, справедливо неравенство:*

$$\begin{aligned} \int_{\mathcal{D} \cap \Phi_z(\tilde{Z})} g(p) dp &\leq \\ &\leq \frac{1}{(\nu(n-1))^{n-1}} \int_{\tilde{Z}} \left(\mathcal{B}u - \beta_l D_l u \right)^{n-1} \cdot \int_{-M/2R}^0 g(D'u, p_n) dp_n dx'. \end{aligned}$$

Я весьма признателен А.И. Назарову за постановку задачи и постоянное внимание к работе.

Список литературы

- [1] Apushkinskaya D.E., Nazarov A.I. “Hölder estimates of solutions to initial-boundary value problems for parabolic equations of nondivergent form with Venttsel boundary condition”. *Amer. Math. Soc. Transl.*, v.64:1–13, 1995.
- [2] Apushkinskaya D.E., Nazarov A.I. “Linear two-phase Venttsel problems”. *Arkiv för matematik*, v.39(2):201–222, 2001.

- [3] Luo Y. “An Aleksandrov-Bakelman type maximum principle and applications”. *Journal of Differential Equations*, v.101(2):213–231, 1993.
- [4] Александров А.Д. “Некоторые оценки, касающиеся задачи Дирихле”. *ДАН СССР*, т.134(5):1001–1004, 1960.
- [5] Апушкинская Д.Е., Назаров А.И. “Лемма о нормальной производной и вокруг неё”. *Успехи математических наук*, т.77(2):3–68, 2022.
- [6] Мироненко Ф.Д., Назаров А.И. “Локальная оценка максимума типа Александрова–Бакельмана для решений эллиптических уравнений на стратифицированном множестве вида “книжка””. *Записки научных семинаров ПОМИ*, 519:105–113, 2022.
- [7] Назаров А.И. “Принцип максимума А.Д. Александрова”. *Современная математика и ее приложения*, т.29:127–143, 2005.
- [8] Апушкинская Д.Е. “Оценка максимума решений параболических уравнений с граничными условиями Вентцеля”. *Вестник ЛГУ. Сер. мат. мех. астр.*, вып.2:3–12, 1991.
- [9] Бакельман И.Я. “К теории квазилинейных эллиптических уравнений”. *Сиб. мат. журнал*, т.2(2):179–186, 1961.
- [10] Крылов Н.В. “Последовательности выпуклых функций и оценки максимума решения параболического уравнения”. *Сиб. мат. журнал*, т.17(2):290–303, 1976.
- [11] Крылов Н.В. “О принципе максимума для нелинейных параболических и эллиптических уравнений”. *Изв. АН СССР. Сер. мат.*, т.42(5):1050–1062, 1978.
- [12] Назаров А.И., Уральцева Н.Н. “Выпукло-монотонные оболочки и оценка максимума решения параболического уравнения”. *Записки научных семинаров ПОМИ*, 147:95–109, 1985.
- [13] Ощепкова С.Н., Пенкин О.М. “Теорема о среднем для эллиптического оператора на стратифицированном множестве”. *Математические заметки*, т.81(3):417–426, 2007.
- [14] Рокафеллар Р. “*Выпуклый анализ*”. М., Мир, 1973.